

# Otimizando Saídas Antecipadas em Redes Neurais Profundas: Como Lidar com Buffers?

**Roberto G. Pacheco<sup>4</sup>, Divya J. Bajpai<sup>3</sup>, Mark Shifrin<sup>2</sup>, Rodrigo S. Couto<sup>1</sup>,  
Daniel Sadoc Menasché<sup>1</sup>, Manjesh K. Hanawal<sup>3</sup> and Miguel Elias M. Campista<sup>1\*</sup>**

<sup>1</sup> Universidade Federal do Rio de Janeiro, Rio de Janeiro – RJ – Brasil

<sup>2</sup>Ben Gurion University, Negev, Israel

<sup>3</sup>Indian Institute of Technology, Bombay, India

<sup>4</sup>Universidade Federal Fluminense, Rio das Ostras – RJ – Brasil

**Abstract.** *Redes Neurais Profundas com Saídas Antecipadas (EE-DNNs) inserem ramos laterais que permitem a inferência local quando a confiança ultrapassa um limiar pré-definido, reduzindo a dependência da nuvem. No entanto, um limiar fixo não se adapta às variações contextuais do mundo real. Este trabalho investiga a adaptação dinâmica dos limiares utilizando algoritmos de multi-armed bandits (MABs). Além disso, um buffer de entradas finito é introduzido para equilibrar o compromisso entre acurácia e latência, considerando a confiança e o tamanho da fila. Os resultados experimentais demonstram que os limiares ajustados por MABs convergem rapidamente em diversos contextos, enquanto o buffer garante um equilíbrio eficiente entre acurácia e latência.*

**Abstract.** *Early-exit Deep Neural Networks (EE-DNNs) insert intermediate branches that enable local inference when confidence exceeds predefined thresholds, reducing reliance on cloud processing. However, fixed thresholds fail to adapt to real-world contextual variations. This work investigates dynamically adaptive threshold using multi-armed bandits (MABs) to address concept drift caused by contextual changes. Additionally, a finite input buffer is introduced to balance the accuracy-latency trade-off based on both confidence levels and queue size. Experimental results demonstrate that MAB-based thresholds converge rapidly, across diverse contexts, while the buffer ensures efficient balance the accuracy-latency trade-off.*

## 1. Introdução

Redes Neurais Profundas (Deep Neural Networks – DNNs) têm alcançado avanços notáveis em desempenho [Krizhevsky et al. 2012, He et al. 2016], especialmente em tarefas relacionadas à visão computacional. Contudo, o alto requisito de processamento dessas redes dificulta sua aplicação em dispositivos móveis para tarefas de inferência. Uma solução para contornar essas restrições envolve o uso de infraestrutura de computação em nuvem equipada com Unidades de Processamento Gráfico (GPUs) [Satyanarayanan 2017]. Em um modelo exclusivamente baseado na nuvem, os

---

\*O trabalho teve apoio do CNPq (SEI:01300.010794/2023-1, 408255/2023-4 e 315106/2023-9), da CAPES (88881.694462/2022-01) e da FAPERJ (E-26/204.562/2024 e E-26/204.268/2024)

dispositivos móveis capturam dados e os transmitem à nuvem, onde o processamento completo do modelo DNN ocorre. Entretanto, essa abordagem implica em custos adicionais relacionados à comunicação entre os dispositivos móveis e o servidor na nuvem, o que reforça a necessidade de particionar os modelos DNN para uma execução conjunta entre dispositivos móveis e a nuvem [Kang et al. 2017, Hu et al. 2019]. Nesse contexto, surge a abordagem de inferência colaborativa, que se baseia no particionamento do modelo DNN. Esse particionamento é tratado como um problema de otimização, em que uma camada específica é selecionada para dividir o modelo [Pacheco et al. 2021a]. As camadas anteriores à camada de divisão são executadas localmente no dispositivo móvel, enquanto as demais são processadas na nuvem.

Este estudo aborda uma tarefa de classificação em que uma DNN com saídas antecipadas (*early-exit DNN* – EE-DNN) é empregada para identificar objetos em imagens. O trabalho explora um cenário de offloading adaptativo, combinando EE-DNNs e particionamento de modelo dentro de um *framework* de co-inferência entre dispositivos móveis e a nuvem. As DNNs com saídas antecipadas desempenham um papel crucial na implementação da co-inferência [Teerapittayanon et al. 2016, Laskaridis et al. 2020, Wang et al. 2019a], pois são projetadas com múltiplos ramos laterais que permitem a realização de inferências em camadas intermediárias.

Quando o dispositivo móvel captura uma imagem, ela é processada até alcançar um dos ramos laterais da DNN. Caso a confiança da classificação supere um limiar de confiança predefinido, a inferência é concluída localmente. Caso contrário, os dados são enviados à nuvem, que processa as camadas restantes do modelo. Essa abordagem permite que a inferência seja concluída condicionalmente, dependendo da complexidade de classificar a entrada, resultando em economia de recursos como rede, energia e capacidade computacional, além de reduzir o tempo de inferência para entradas menos complexas. Entretanto, optar por classificações antecipadas pode levar a uma redução no desempenho, gerando um trade-off entre latência e acurácia [Pacheco et al. 2021a].

BranchyNet [Teerapittayanon et al. 2016] e SPINN [Laskaridis et al. 2020] empregam um limiar fixo para decidir se a inferência deve ser encerrada. Essas abordagens pressupõem que a distribuição de amostras entre classes é constante, o que pode ser inadequado em cenários reais. Por exemplo, um dispositivo móvel em um porto tende a processar mais imagens de navios, enquanto, em uma rodovia, o mesmo dispositivo precisaria classificar predominantemente carros e caminhões. O ambiente em que as imagens são coletadas, referido como *contexto*, exerce influência direta nos resultados da inferência.

Neste cenário, este trabalho apresenta duas principais contribuições:

**Multi-armed bandits para lidar com *concept drift*:** Este trabalho demonstra que algoritmos de multi-armed bandits (MABs) são eficazes na adaptação dinâmica dos limites de confiança para enfrentar o *concept drift*, ou seja, mudanças nas propriedades estatísticas das imagens ao longo do tempo. Os resultados indicam que os limiares ajustados por MABs convergem após algumas milhares de amostras, maximizando o desempenho em diferentes contextos e cenários de sobrecarga. Os MABs levam em consideração: *i*) as confianças obtidas nos ramos laterais; *ii*) os ganhos de confiança estimados ao processar todas as camadas do modelo; e *iii*) os custos associados à sobrecarga.

**Buffer de entradas para gerenciar o trade-off entre precisão e atraso:** Um

*buffer* finito de entradas é introduzido para auxiliar o controlador na tomada de decisões sobre saídas antecipadas, com base tanto na confiança da classificação quanto no tamanho da fila de espera. O *backlog* representa a quantidade de tarefas ou dados acumulados aguardando processamento pelo modelo de EE-DNN. Quando o *backlog* é pequeno, o controlador pode priorizar a acurácia das inferências processando todo o modelo de EE-DNN, garantindo resultados mais precisos. No entanto, se o *backlog* é alto, ou seja, o *buffer* estiver próximo de sua capacidade máxima, o controlador precisa favorecer a velocidade de processamento para evitar a perda de novas entradas, garantindo assim a eficiência do sistema mesmo sob alta demanda.

Este estudo amplia os resultados apresentados em [Pacheco et al. 2024], introduzindo duas contribuições principais: 1) a implementação de um buffer de entrada para aprimorar as decisões relacionadas às saídas antecipadas e 2) a avaliação do *concept drift*, em que mudanças no contexto refletem alterações nas categorias de imagens. Diferentemente dos trabalhos anteriores [Pacheco et al. 2024], que focaram a influência de diferentes níveis de desfoque (*blur*) nas imagens, este trabalho considera explicitamente variações contextuais associadas às classes de imagens existentes no conjunto de dados.

A organização do artigo é a seguinte: a Seção 2 apresenta uma revisão dos trabalhos relacionados. Na Seção 3, são explorados os conceitos de DNNs com saídas antecipadas e a aplicação de multi-armed bandits. A Seção 4 aborda a formulação do problema considerando a introdução de um buffer de entradas. A Seção 5 discute o impacto do contexto sobre as decisões de saída antecipada, demonstra a convergência dos MABs para a escolha de limiares adequados e analisa o impacto do *buffer*. Por fim, a Seção 6 apresenta as conclusões e sugere direções para pesquisas futuras.

## 2. Trabalhos Relacionados

BranchyNet [Teerapittayanon et al. 2016] é uma DNN com saídas antecipadas que decide se uma amostra pode ser classificada antecipadamente, com base na entropia da classificação. A decisão é tomada quando o valor da entropia é inferior a um limiar fixo predefinido, permitindo que a amostra seja classificada em um ramo lateral. Arquiteturas similares, como SPINN [Laskaridis et al. 2020] e SEE [Wang et al. 2019b], utilizam a confiança da classificação, representada pela probabilidade da classe mais provável, para decidir sobre saídas antecipadas. Este trabalho também considera uma arquitetura em que a saída antecipada ocorre quando a confiança ultrapassa um limiar específico.

Além da BranchyNet e da SPINN, outras abordagens exploram DNNs com saídas antecipadas para reduzir o tempo de inferência. FlexDNN [Fang et al. 2020] e Edgent [Li et al. 2019] utilizam essas DNNs para selecionar a profundidade ideal do modelo, enquanto Dynexit [Wang et al. 2019a] implementa DNNs com saídas antecipadas em hardware FPGA, visando otimizar a latência e o consumo energético. Paul et al. [Kim and Park 2020] também destacam as vantagens de implementar DNNs com saídas antecipadas em placas FPGA, alcançando ganhos significativos em tempo de inferência e eficiência energética.

Casale e Roveri [Casale and Roveri 2023] introduzem o conceito de buffer de entradas no contexto de DNNs com saídas antecipadas (EE-DNNs), no qual o *backlog* do buffer influencia diretamente as decisões de saída antecipada. No entanto, este trabalho se diferencia ao abordar o impacto das mudanças no contexto, o que está fora do escopo

de [Casale and Roveri 2023].

Os trabalhos existentes geralmente assumem limiares fixos [Fang et al. 2020, Li et al. 2019, Kim and Park 2020, Pacheco et al. 2021a, Pacheco et al. 2021b] ou pré-definidos durante a inferência. Em contraste, este trabalho propõe uma abordagem adaptativa que ajusta os limiares dinamicamente por meio de aprendizado por reforço, respondendo às mudanças no contexto.

A maioria das soluções atuais define saídas antecipadas comparando valores de confiança ou entropia a limiares fixos. Exceções são LEE [Ju et al. 2021b] e DEE [Ju et al. 2021a], que utilizam MABs para aprender políticas de saída. Apesar de motivado por objetivos semelhantes, este trabalho se distingue em aspectos fundamentais, como o uso de MABs para ajustar os limiares que determinam saídas ótimas, enquanto trabalhos como LEE e DEE definem explicitamente a saída ótima como variável de controle.

### 3. DNN com Saídas Antecipadas Através de Multi-Armed Bandits

Este trabalho utiliza a DNN MobileNetV2 [Krizhevsky et al. 2012] com um ramo lateral como modelo para DNNs com saídas antecipadas, considerando uma inferência colaborativa entre borda e nuvem, como ilustrado na Figura 1(a). Após receber uma entrada  $x$ , o modelo é processado no dispositivo de borda, camada por camada, até atingir o ramo lateral, no qual um vetor de saída intermediário  $z_I$  é calculado. Em seguida, o modelo aplica a função *softmax* para gerar o vetor de probabilidade  $p_I \triangleq \text{softmax}(z_I)$ , em que  $\text{softmax}(z_I) \propto \exp(z_I)$ . Cada componente de  $p_I$  representa a probabilidade de  $x$  pertencer a uma classe específica. A partir de  $p_I$ , calcula-se a confiança intermediária de classificação da entrada  $x$  como  $C_I = \max p_I$ . Se  $C_I \geq \alpha$ , onde  $\alpha$  é o limiar de confiança, o ramo lateral classifica  $x$  como  $\hat{y} = \arg \max(p_I)$ , encerrando o processo de inferência. Caso contrário, se  $C_I < \alpha$ , a borda transfere dados à nuvem que processa as camadas subsequentes até a camada final, gerando a confiança  $C_L$ . Este processamento adicional resulta em uma sobrecarga  $o$ , que pode ser significativa dependendo do cenário. Por exemplo, em aplicações de offloading adaptativo com partição de DNN, a sobrecarga inclui o tempo de comunicação para transferir os dados do dispositivo em borda à nuvem e o tempo de processamento das camadas restantes na nuvem. Em aplicações puramente móveis, onde todo o modelo é processado no dispositivo, a sobrecarga está associada ao tempo de execução das camadas subsequentes no dispositivo e, possivelmente, ao consumo de energia. Embora EE-DNNs possam ter múltiplos ramos laterais, este trabalho considera apenas um ramo lateral, simplificando a análise.

Tradicionalmente, as EE-DNNs empregam um limiar de confiança fixo  $\alpha$ . Contudo, aplicações reais podem requerer o emprego de limiar adaptativo a depender do contexto, como explicado anteriormente. Este estudo aborda a adaptação de EE-DNNs a diferentes contextos utilizando algoritmos baseados em *multi-armed bandits* (MABs). A principal contribuição deste trabalho é a definição de um limiar condicional de confiança, que determina se a saída antecipada será utilizada. Este limiar é adaptativo, ajustando-se de acordo com a acurácia observada no ramo lateral e as condições do contexto. A Seção 4 detalha o algoritmo proposto para a escolha adaptativa do limiar, utilizando aprendizado por reforço via MABs.

**Modelo.** Para cada entrada (imagem), as confianças de classificação nas camadas intermediária e final, representadas por  $C_I$  e  $C_L$ , respectivamente, permanecem desconhe-

---

**Algorithm 1:** Algoritmo de seleção de limiar de confiança (MAB)

---

```

1 Entrada:  $\tilde{c} > 0$ ,  $o$  (sobrecarga),  $K$  (número de limiares)
2 Inicialização Tente cada limiar; atribua  $Q_1(\alpha_1) = r_1(\alpha_1), \dots, Q_K(\alpha_K) = r_K(\alpha_K)$ 
3 for  $t = K + 1, K + 2, \dots$ , do
4   Receba uma amostra  $\alpha_t \leftarrow \operatorname{argmax}_{\alpha \in \mathcal{A}} \left( Q_{t-1}(\alpha) + \tilde{c} \sqrt{\frac{\ln(t)}{N_{t-1}(\alpha)}} \right)$ ;
5   Obtenha a confiança  $C_I$  na camada intermediária
6   if  $C_I \geq \alpha_t$  then
7     | Realiza classificação antecipada e define  $r_t(\alpha_t) \leftarrow 0$ 
8   else
9     | Use a última camada e observe  $C_I$  and  $C_L$ 
10    |  $r_t(\alpha_t) \leftarrow \max(C_L - C_I, 0) - o$ 
11   end
12    $N_t(\alpha_t) = N_{t-1}(\alpha_t) + 1$ ;
13    $Q_t(\alpha_t) = \sum_{u=1}^t r_u(\alpha_u) \mathbb{1}\{\alpha_u = \alpha_t\} / N_t(\alpha_t)$ ;
14 end

```

---

cidas até que a entrada seja processada por essas camadas da DNN. Dado cada exemplo, o algoritmo decide uma ação  $\alpha \in \mathcal{A}$ , correspondente a um limiar de confiança. Posteriormente, a confiança intermediária  $C_I$  é comparada com o limiar  $\alpha$ . A combinação da ação  $\alpha$  e do valor de  $C_I$  determinará se a inferência será concluída antecipadamente na camada intermediária ou se o processamento seguirá para as camadas subsequentes.

Considere  $\Delta C$  como o incremento de confiança obtido ao avançar da camada intermediária para a camada final, definido por  $\Delta C = \max\{C_L - C_I, 0\}$ . Denotando por  $C$  a confiança de classificação associada a uma observação escolhida aleatoriamente, a confiança média esperada sobre todas as observações é expressa como:  $\mathbb{E}[C] = \mathbb{E}[\Delta C + C_I \mid C_I < \alpha] \cdot P[C_I < \alpha] + \mathbb{E}[C_I \mid C_I \geq \alpha] \cdot P[C_I \geq \alpha]$ . Neste caso, o primeiro termo considera as observações que continuam até a camada final ( $C_I < \alpha$ ), enquanto o segundo abrange as que são classificadas antecipadamente ( $C_I \geq \alpha$ ). Para qualquer limiar  $\alpha \in \mathcal{A}$ , seja  $r(\alpha)$  a recompensa instantânea associada a esse limiar. A recompensa instantânea é definida como:  $r(\alpha) = 0$  se  $C_I \geq \alpha$  (classificação antecipada), e  $r(\alpha) = \Delta C - o$ , caso contrário. A sobrecarga  $o$  está associada ao processamento da amostra até a camada final. Neste trabalho, a sobrecarga  $o$  é normalizada, ou seja, é escalada por um fator que torna as unidades de energia ou tempo comparáveis com  $\Delta C$ .

Então, a recompensa média por escolher o limiar de confiança  $\alpha$  é dada por:  $\mathbb{E}[r(\alpha)] = \mathbb{E}[\Delta C - o \mid C_I < \alpha] \cdot P[C_I < \alpha]$ . O objetivo é encontrar um limiar de confiança que atinja a recompensa ótima dada por  $\alpha^* = \operatorname{arg max}_{\alpha \in \mathcal{A}} \mathbb{E}[r(\alpha)]$ . Este trabalho define o desempenho em escolher uma política  $\Pi_{\text{MAB}}$  ao longo de  $n \in \mathbb{N}$  rodadas em termos de arrependimento esperado (*expected regret*) como:  $R(\Pi_{\text{MAB}}, n) = n \cdot \mathbb{E}[r(\alpha^*)] - \sum_{t=1}^n \mathbb{E}[r(\alpha_t) \mid \Pi_{\text{MAB}}]$ , onde  $\alpha_t$  denota o limiar selecionado pelo aprendiz na rodada  $t$ , com base nas entradas anteriores. O arrependimento de  $\Pi_{\text{MAB}}$  é dado pela diferença entre a recompensa coletada ao usar um limiar ótimo e a recompensa coletada por  $\Pi_{\text{MAB}}$ .

**Algoritmo.** O pseudo-código do algoritmo é apresentado no Algoritmo 1, baseando-se no Upper Confidence Bound (UCB) [Auer et al. 2002]. Os parâmetros de entrada do algoritmo são o fator de compromisso entre exploração e exploração,  $\tilde{c}$ , e

o número de limiares,  $K$ . Inicialmente, cada limiar é aplicado uma vez para os primeiros  $K$  inputs, gerando uma amostra para cada braço. Nas rodadas subsequentes, o limiar com o índice UCB mais alto é selecionado. Se a confiança da classificação na camada intermediária exceder o limiar, uma saída antecipada ocorre (linhas 6-7). Caso contrário, o algoritmo processa todas as camadas subsequentes. Neste caso, a classificação da camada com a maior confiança é considerada como a saída final (linhas 8-10). Em seguida, as estatísticas  $N_t(\alpha_t)$  e  $Q_t(\alpha_t)$  são atualizadas (linhas 13-14). Aqui,  $N_t(\alpha_t)$  representa o número de vezes que a ação  $\alpha_t$  foi escolhida na  $t$ -ésima rodada, e  $Q_t(\alpha_t)$  é a recompensa média associada à ação  $\alpha_t$  na mesma rodada.

#### 4. Buffer de Entrada

A seguir, considera-se um buffer finito de observações com capacidade  $B$ . As entradas chegam ao buffer para serem classificadas por uma EE-DNN, e o controlador pode determinar, com base no *backlog* do buffer e na confiança intermediária, se deve realizar a saída antecipada. Vale lembrar que o *backlog* do buffer corresponde à quantidade de entradas acumuladas no *buffer* aguardando processamento, o qual é denotado por  $n$ . Enquanto na seção anterior as decisões em relação à classificação antecipada eram feitas exclusivamente com base em  $C_I$ , agora essas decisões podem depender de  $n$  e  $C_I$ .

Como nas seções anteriores, o Tomador de Decisão (TD) deve ponderar duas opções: aproveitar a saída antecipada, que oferece menor acurácia, mas um atraso mínimo, ou processar todo modelo, que oferece maior acurácia, mas resulta em um maior atraso. O objetivo principal é maximizar a eficiência do sistema, medida pela vazão (*throughput*), que corresponde à taxa de observações classificadas corretamente por unidade de tempo, equilibrando esses trade-offs. Por exemplo, considere um cenário em que o TD deve decidir entre classificar uma entrada rapidamente para obter um processamento mais rápido ou continuar pelas camadas mais profundas para melhorar a precisão da classificação, às custas de um maior atraso. Essa decisão depende de vários fatores, como a carga atual do sistema, a confiança na classificação e o *backlog* de entradas aguardando processamento.

**Compromisso (*tradeoff*) fundamental.** Quando o *buffer* está cheio, atrasar a classificação pode resultar em perdas devido ao descarte de novas entradas. Tais perdas causam uma diminuição na vazão. Por outro lado, quando o *buffer* está subutilizado, depender excessivamente das saídas antecipadas pode causar perda desnecessária de acurácia, afetando mais uma vez a vazão, medida em observações corretamente classificadas por unidade de tempo. Assim, para maximizar a vazão é necessário achar um balanço ótimo no uso de saídas antecipadas, conforme detalhado nas seções a seguir.

**Modelo: CTMDP para DNNs com Saídas Antecipadas.** Este artigo utiliza um Processo de Decisão de Markov em Tempo Contínuo (*Continuous-Time Markov Decision Process* – CTMDP) para determinar a política ótima que equilibra tempo de inferência e acurácia. O modelo é inspirado em [Shifrin et al. 2020] e no exemplo de controle de admissão no Capítulo 6 de [Puterman 2014].

Este trabalho assume que as entradas chegam de acordo com um processo de Poisson com taxa  $\lambda$ , e que o tempo para processar cada entrada é distribuído exponencialmente com média  $1/\mu_u$ , onde  $u$  é a ação escolhida:  $u = I$  caso seja realizada uma saída antecipada, e  $u = L$ , caso contrário. Seja  $\theta$  a sobrecarga média, em unidades de tempo, para

se transmitir cada entrada à nuvem e processar as camadas finais do modelo de EE-DNN. Então,  $1/\mu_L = 1/\mu_I + \theta$ , onde  $1/\mu_I$  é o tempo médio para processar uma observação na borda, usando a saída antecipada.

Os principais componentes do CTMDP são: 1) **espaço de estados:** cada estado representa o *backlog* do sistema e, possivelmente, a decisão de classificação atual para a entrada na cabeça da fila (*Head of Line - HOL*), ou seja, se será realizada uma saída antecipada ou não; 2) **ações:** o TD escolhe, em última instância, se deve realizar uma saída antecipada ou continuar o processamento por camadas mais profundas, dependendo do tamanho do *backlog*; 3) **objetivo:** maximizar a *vazão*, equilibrando o compromisso entre melhoria na acurácia e o tempo de inferência.

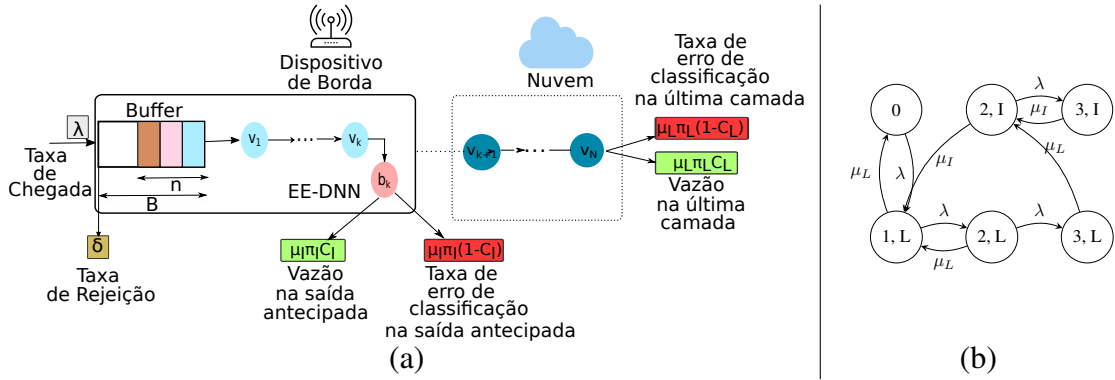
Nos cenários em que se considera um *buffer*, assume-se que o TD determina diretamente se realizará a saída antecipada ou não, em função do *backlog*. Para estender os resultados ao caso em que o TD escolhe o limiar  $\alpha$ , que impacta indiretamente a eventual saída antecipada, é preciso adicionar uma função adicional que mapeie  $\alpha$  em uma probabilidade de saída antecipada, levando em conta a distribuição de  $C_I$ . Essa extensão, unificando os modelos MAB e CTMDP, será tratada em trabalhos futuros.

**Equação de Bellman.** Em um processo de decisão Markoviano, a função de valor é definida para cada estado e é computada iterativamente utilizando as equações de Bellman [Puterman 2014]. A política ótima é definida a partir da função de valor. Devido a restrições de espaço, esta versão do trabalho não apresenta as equações de Bellman e o algoritmo de iteração de valor (*value iteration*) em sua generalidade. Ao invés disso, é aproveitado o resultado derivado em [Shifrin et al. 2020] para tratar de uma classe especial de políticas, chamadas de políticas baseadas em limiar (*threshold policies*). Em [Shifrin et al. 2020] os autores provam que a política ótima para tomada de decisão no tipo de problema considerado neste artigo é do tipo *limiar de backlog* (*backlog threshold*). Segundo tal política, se o *backlog* contiver mais que um determinado número de requisições pendentes, deve-se adotar a ação mais rápida (neste caso, *saída antecipada*). Caso contrário, pode-se adotar a ação mais demorada (neste caso, *processar até a última camada*). Os leitores interessados nas equações de Bellman e no algoritmo de iteração por valor podem consultá-los no relatório técnico.

Seja  $\tau$  o limiar de *backlog*. Se, após um serviço, o *backlog*  $n$  for tal que  $n \geq \tau$ , adota-se a saída antecipada para o próximo serviço. Caso contrário, se  $n < \tau$ , o próximo serviço ocorre sem saída antecipada. A seguir, descreve-se brevemente a cadeia de Markov que caracteriza o sistema para um determinado  $\tau$ , e nos estudos numéricos varia-se o limiar  $\tau$ , entre 0 e  $B$ , buscando-se pelo ótimo que maximiza a vazão.

**Fluxos envolvidos no modelo Markoviano.** A Figura 1(a) ilustra o modelo Markoviano considerado. Um fluxo de observações com taxa  $\lambda$  alimenta o buffer local, que possui capacidade  $B$ . As entradas que excedem a capacidade do buffer são descartadas, gerando um fluxo de descarte com taxa  $\delta$ . As observações não descartadas são processadas por um dispositivo de borda, que decide localmente, com base na ocupação da fila, se as classificações devem ser realizadas em camadas intermediárias ou enviadas à nuvem para processamento adicional.

**Cadeia de Markov.** A cadeia de Markov modela o comportamento de um sistema com saídas antecipadas e um buffer finito, para um dado limiar  $\tau$  fixo. As transições



**Figura 1. (a) Modelo do sistema; (b) Cadeia de Markov ilustrativa:**  $\tau = 2, B = 3$ .

de estado são determinadas pelas taxas de chegada ( $\lambda$ ) e pelas taxas de atendimento ( $\mu_I$  e  $\mu_L$ ), que correspondem ao processamento pela saída antecipada e pela rede completa, respectivamente. Cada estado da cadeia é representado por um par  $(n, u)$ , onde  $n$  indica o número de itens no buffer e  $u$  especifica a classe de processamento, que pode ser saída antecipada ( $u = I$ ) ou modelo de EE-DNN completo ( $u = L$ ). O estado  $(0)$  é usado para indicar que o buffer está vazio. O objetivo da modelagem é capturar o impacto de diferentes políticas e configurações de buffer sobre o desempenho do sistema. A Figura 1(b) ilustra a cadeia de Markov considerada, para  $\tau = 2$  e  $B = 3$ .

A probabilidade em estado estacionário do estado  $(n, u)$  é dada por  $\pi_{n,u}$ , para  $1 \leq n \leq B$ , e do estado  $0$  é dada por  $\pi_Z$ . Seja  $\pi_I$  a fração de tempo em que o sistema está processando uma entrada usando a saída antecipada, enquanto  $\pi_L$  corresponde a fração de tempo para processar até a última camada. Note que  $\pi_I = \sum_{n=1}^B \pi_{n,I}$  e  $\pi_L = \sum_{n=1}^B \pi_{n,L}$ , de modo que  $\pi_I + \pi_L + \pi_Z = 1$ . A matriz de transição da cadeia de Markov contínua é construída considerando três tipos de eventos principais. O primeiro é a chegada de itens ao buffer, que ocorre com taxa  $\lambda$ . Esse evento resulta na transição para estados com maior ocupação do buffer, até o limite máximo  $B$  ser atingido. O segundo é o processamento pela saída antecipada, com taxa  $\mu_I$ , no qual itens deixam o buffer e podem ser classificados corretamente ou incorretamente. O terceiro evento é o processamento pelo modelo completo, com taxa  $\mu_L$ , cujo comportamento é análogo ao da saída antecipada.

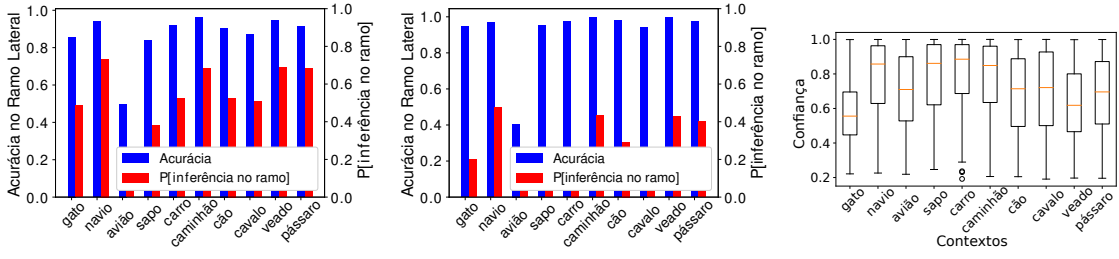
A partir do equilíbrio estacionário da cadeia de Markov, podem ser derivadas três métricas principais. A vazão, ou *throughput* ( $T$ ), representa a taxa de itens processados corretamente, considerando tanto a saída antecipada quanto o modelo completo. A taxa de classificações incorretas ( $M$ ) quantifica a taxa de itens processados com erro. A taxa de descarte ( $\delta$ ) mede a taxa de itens descartados devido ao congestionamento do buffer. Essas métricas são inter-relacionadas pela conservação de fluxo no sistema, de forma que a soma das três é igual à taxa de chegada:  $T + M + \delta = \lambda$ , conforme Figura 1(a), onde

$$T = \mu_I \pi_I C_I + \mu_L \pi_L C_L, \quad M = \mu_I \pi_I (1 - C_I) + \mu_L \pi_L (1 - C_L), \quad \delta = \lambda (\pi_{B,L} + \pi_{B,I}). \quad (1)$$

A seções a seguir avaliam as métricas acima experimentalmente ao considerar, conjuntamente, o impacto do contexto e do buffer.

## 5. Avaliação

As avaliações empregam o modelo MobileNetV2 com um ramo lateral inserido conforme a metodologia descrita em [Laskaridis et al. 2020]. O modelo é treinado se-



(a) Desempenho com limiar  $\alpha=0.7$  (b) Desempenho com limiar  $\alpha=0.9$  (c) Confiança intermediária  $C_I$

**Figura 2. Acurácia em ramo lateral e a probabilidade de classificação antecipada:**  
**(a)  $\alpha = 0.7$  e (b)  $\alpha = 0.9$ ; (c) confiança na camada intermediária,  $C_I$ .**

guindo o procedimento apresentado em [Teerapittayanon et al. 2016] usando o conjunto de dados CIFAR-10 [Krizhevsky et al. 2009].

O CIFAR-10 contém imagens distribuídas em dez classes. O modelo EE-DNN pré-treinado tem como objetivo classificar cada amostra em sua respectiva classe. Conforme descrito na Seção 5.1, em cada experimento, o modelo é alimentado com amostras pertencentes a uma única classe, denominada aqui como contexto. Neste caso em particular, temos falsos negativos quando a rede neural infere que a classe é diferente daquela correspondente ao contexto, e verdadeiros positivos caso contrário. Na Seção 5.2, o conceito de contexto é relaxado. Todo código desenvolvido está disponível em um repositório aberto<sup>1</sup>, incluindo a descrição detalhada da cadeia de Markov e o código para reproduzir os resultados deste artigo.

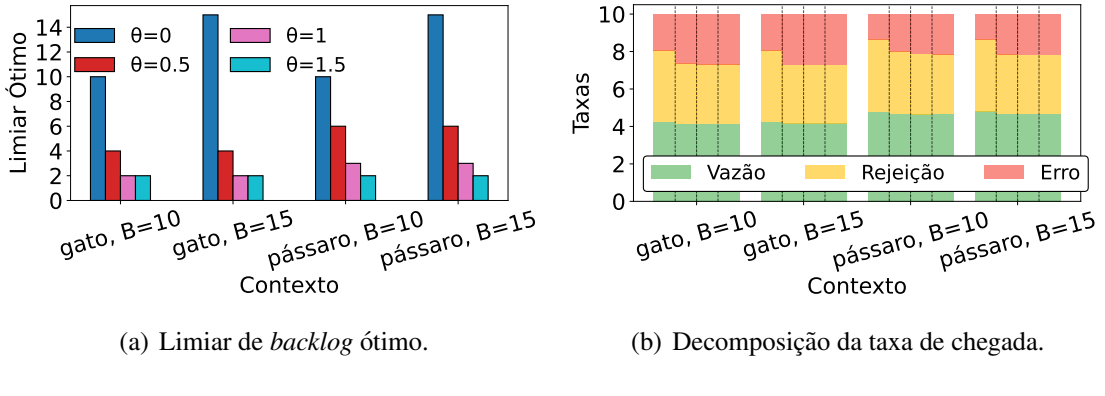
### 5.1. Como Lidar com o Contexto e o Buffer?

Esta seção visa demonstrar o impacto do contexto no desempenho de DNNs com saídas antecipadas e buffers. Para avaliar o desempenho, esta seção considera duas métricas: probabilidade de inferência no ramo lateral e acurácia no ramo lateral. A probabilidade de inferência no ramo lateral é definida como a proporção de entradas classificadas neste ramo em relação ao número total de entradas, enquanto a acurácia no ramo lateral é calculada como a razão entre as classificações corretas realizadas nesse ramo e o número total de entradas classificadas nele.

As Figuras 2(a) e 2(b) mostram, respectivamente, o desempenho do modelo considerando dois limiares de confiança diferentes  $\alpha = 0.7$  e  $\alpha = 0.9$ . Especificamente, as barras azuis mostram a acurácia da saída antecipada, e as barras vermelhas mostram a probabilidade de classificação no ramo lateral. Nota-se que as diferentes classes apresentam variações significativas na acurácia da saída antecipada e na probabilidade de classificação no ramo lateral. Por exemplo, para um limiar  $\alpha = 0.7$ , a classe de pássaros corresponde a uma probabilidade de saída antecipada de aproximadamente 0.7, com a acurácia correspondente de 0.9. Por outro lado, a probabilidade e a acurácia da saída antecipada para a classe de aviões são 0.5 e 0.2, respectivamente. De forma clara, a distribuição das observações entre as classes impacta o desempenho da saída antecipada.

**Desafio: alta variância intra-classe.** A Figura 2(c) apresenta um *boxplot* com as confianças intermediárias  $C_I$  para cada classe do CIFAR-10. Esta figura mostra a alta

<sup>1</sup><https://github.com/pachecobeto95/QAdaEE>.



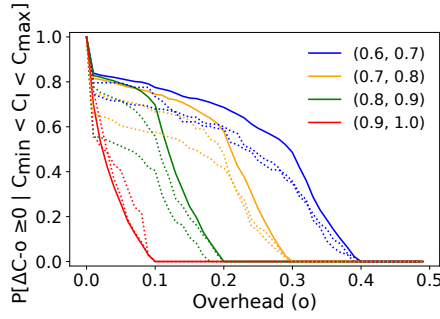
**Figura 3. Impacto do contexto no limiar de *backlog* ótimo e demais métricas.**

variância nas confianças das entradas, mesmo para amostras da mesma classe. Essa alta variância intra-classe indica a necessidade de limiares adaptativos. Embora os MABs sejam uma solução natural para implementar limiares adaptativos, a alta variância intra-classe das confianças desafia a convergência de algoritmos clássicos de MAB, como o algoritmo UCB [Auer et al. 2002], o que requer uma divisão adicional das entradas com base nas suas respectivas confianças de classificação, conforme detalhado a seguir.

**Impacto do contexto no buffer.** A Figura 3(a) apresenta o limiar de *backlog* ótimo, considerando diferentes tamanhos de *buffer*, níveis de sobrecarga e contextos, cada contexto representando uma classe do conjunto CIFAR-10. Os resultados evidenciam que o limiar de *backlog* ótimo varia conforme o contexto, reforçando a importância de limiares de *backlog* adaptativos em modelos EE-DNNs. Além disso, observa-se uma relação inversa entre o nível de sobrecarga e o limiar de *backlog*: à medida que a sobrecarga associada à transmissão e processamento na nuvem aumenta, os limiares ótimos tendem a diminuir. Esse comportamento sugere que, em cenários com maior sobrecarga, é mais vantajoso concluir a inferência nos ramos laterais, adotando saídas antecipadas, e que o valor ótimo depende do contexto. A Figura 3(b), obtida usando os limiares de *backlog* ótimos apresentados na Figura 3(a), indica como a decomposição apresentada na Eq. (1) se traduz na prática. Em particular, vemos que a vazão aumenta sutilmente quando passamos da classe ‘gato’ para a classe ‘pássaro’. Tal aumento da vazão (verde) se deve primordialmente a uma diminuição na taxa de erro de classificação (vermelho), notando-se que taxa de rejeição de observações se mantém praticamente estável ao longo das configurações consideradas (amarelo). Tal estabilidade se deve, em parte, ao ajuste no limiar, que nesta seção é ilustrado sempre em seu valor ótimo. Na Seção 5.3, analisa-se a classe ‘gato’, ilustrando como os componentes da Eq. (1) variam em cenários subótimos.

## 5.2. Avaliação do Algoritmo de Aprendizado

**Classes e contextos.** A seguir, o conceito de *contexto* é refinado. Para isso, as entradas de interesse são divididas em bins. Assim, o contexto se refere à distribuição das entradas entre os bins. Cada bin pode corresponder a uma classe alvo (por exemplo, avião, navio ou cachorro, como na Figura 2), ou a um intervalo de confiança (por exemplo,  $C_I \in [0, 0.1]$ , como na Figura 4). Neste último caso, no qual o contexto corresponde à distribuição das entradas conforme a confiança intermediária  $C_I$ , agrupam-se as entradas em  $m$  bins de intervalo de tamanho igual  $B_1, \dots, B_m$  com base na confiança  $C_I$  para capturar a complexidade da entrada. Assim, cada bin  $B_i$  contém imagens cuja confiança



**Figura 4. Probabilidade de valer a pena processar até a última camada.**

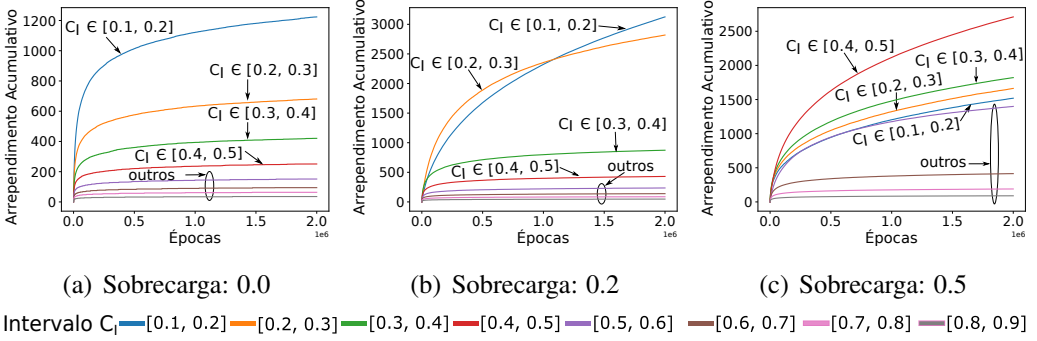
$C_I$  satisfaz  $C_I \in \left(\frac{i-1}{m}, \frac{i}{m}\right]$ , por exemplo, se  $m = 10$ , o bin  $B_1$  contém imagens com  $C_I \in (0, 0.1]$ . Como antes, o contexto muda quando a distribuição das observações entre os bins é modificada, observando que o contexto impacta a avaliação do algoritmo, mas não afeta explicitamente sua operação.

**Qual é o impacto da sobrecarga?** A Figura 4 mostra a probabilidade de valer a pena processar até a última camada, em função da sobrecarga, sob diferentes intervalos de  $C_I$ . Cada linha sólida representa um contexto particular composto por entradas cujos  $C_I$  estão em um bin de confiança específico, usando as observações de todas as classes. Primeiramente, essa figura quantifica que uma sobrecarga menor aumenta a probabilidade de processamento até a última camada. De fato, observe que essas curvas são funções de distribuição acumulada complementar (CCDFs). Assim, dado o intervalo de  $C_I$ , a área sob essas curvas corresponde ao ganho médio condicional de confiança. A área sob as curvas vermelha, verde, laranja e azul sólida é 0.07, 0.22, 0.35 e 0.48, respectivamente, correspondendo a valores decrescentes de  $C_I$ .

A saída antecipada é ótima sob um critério de ganho médio quando a área é menor que a sobrecarga. Quanto maior o valor de  $C_I$ , mais provável é que a saída antecipada seja ótima. A Figura 4 também nos permite avaliar o impacto das decisões além das médias, levando em conta a distribuição dos ganhos. Por exemplo, quando a sobrecarga é 0.15, a saída antecipada é ótima para 50% e 80% das entradas se  $C_I \in (0.8, 0.9)$  e  $C_I \in (0.6, 0.7)$ , respectivamente. As linhas pontilhadas filtram ainda mais as entradas com base em suas classes-alvo, ou seja, representando uma mudança de contexto baseada em classes. Para cada um dos quatro intervalos de  $C_I$  considerados, adicionamos duas linhas pontilhadas que correspondem a amostras das classes-alvo de cães e gatos. A figura mostra que as áreas sob as curvas, e portanto os limiares ótimos, mudam de acordo com o contexto. De fato, esse comportamento exige uma avaliação adaptativa de limiares, na qual os benefícios da saída antecipada são continuamente avaliados em função das estatísticas coletadas de novas entradas.

**Arrependimento logarítmico é viável?** Os resultados demonstram experimentalmente a convergência para selecionar o limiar ótimo  $\alpha^*$  que se adapta ao contexto. Para isso, executa-se o algoritmo considerado utilizando imagens de teste do conjunto de dados CIFAR-10. As imagens são agrupadas em bins de confiança, conforme descrito na Seção 5.1. A cada época, uma imagem do bin é sorteada com reposição. Em seguida, realiza-se uma inferência adaptativa de saída antecipada, escolhendo o limiar  $\alpha$  utilizando o algoritmo baseado em MAB considerado.

A Figura 5 mostra o arrependimento acumulado em função das épocas para um



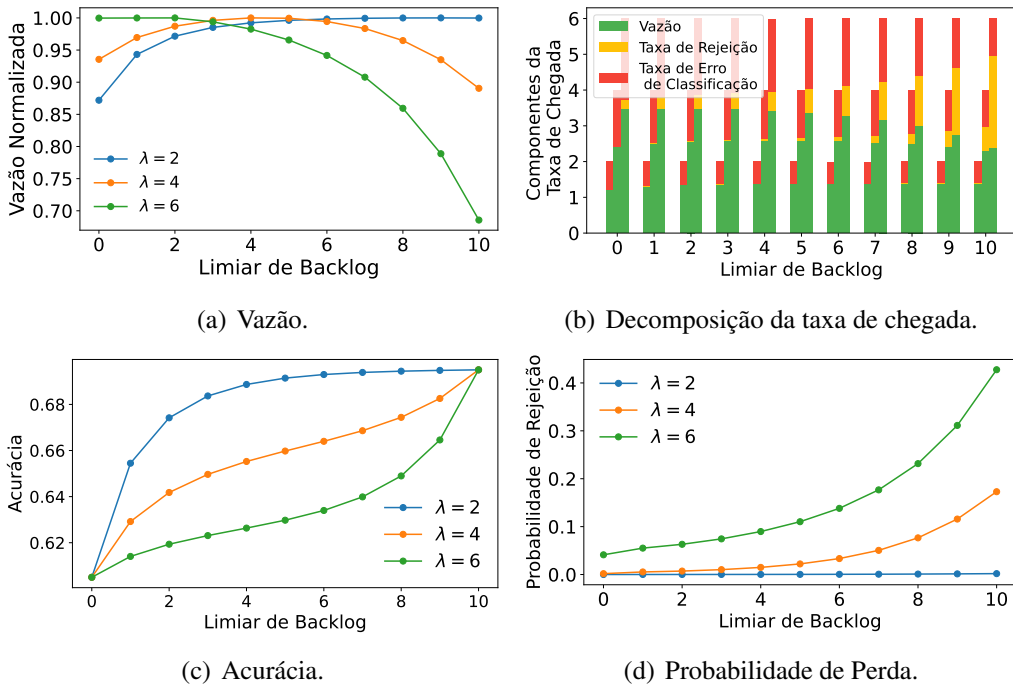
**Figura 5. Arrependimento acumulado para diferentes valores de sobrecargas.**

valor específico de sobrecarga e vários contextos, representados pelos bins. Cada linha corresponde a um contexto específico, enquanto cada gráfico mostra os resultados para um valor de sobrecarga específico. O arrependimento acumulado  $R_t$  é calculado como a soma do arrependimento instantâneo  $r(\alpha)$  obtido até a  $t$ -ésima época. A Figura 5 confirma experimentalmente que o arrependimento logarítmico é alcançável, ou seja, a convergência normalmente ocorre após a coleta de algumas milhares de observações para diferentes contextos e valores de sobrecarga. Na Figura 5(a), quando a sobrecarga é zero, o limiar ótimo é o máximo permitido, e, portanto, nunca é realizada uma saída antecipada. Em contraste, a Figura 5(c) mostra que o limiar ótimo é o mínimo permitido quando a sobrecarga é 0,5, realizando sempre uma saída antecipada. Para outros valores de sobrecarga, o limiar ótimo está entre os dois extremos. A Figura 5 mostra que, à medida que a sobrecarga aumenta de 0 para 0,5, a dificuldade de encontrar o limiar ótimo primeiro aumenta e depois diminui. De fato, para todos os contextos considerados, o arrependimento acumulado cresce logaritmicamente após 100.000 observações coletadas quando a sobrecarga é zero, permanecendo abaixo de 1.200 na época  $2 \times 10^6$ . Em contraste, quando a sobrecarga é igual a 0,2, encontramos que em quatro dos oito contextos considerados, o arrependimento acumulado atinge 3.000 sob o mesmo horizonte. Em seguida, quando a sobrecarga é igual a 0,5, o arrependimento acumulado não ultrapassa 1.600 sob o horizonte considerado, exceto para um dos contextos considerados.

### 5.3. Qual o Impacto do Limiar do *Backlog*?

A seguir, considera-se um buffer de tamanho 10, ou seja, capaz de armazenar até 10 entradas. O modelo de buffer proposto é parametrizado usando dados da classe ‘gato’ da seguinte forma:  $\mu_I = 6.9$ ,  $C_I = 0.605$ ,  $C_L = 0.695$  e  $\mu_L = \mu_I/2$ , para capturar efeitos do atraso em rede. A Figura 6 ilustra os resultados obtidos, variando  $\lambda$  no conjunto  $\{2, 4, 6\}$ . Seja a vazão normalizada igual a vazão obtida para um determinado limiar de *backlog* dividida pela vazão máxima alcançada no cenário em questão. A Figura 6(a) ilustra o fato de que para taxas de chegada muito pequenas ou muito grandes, vale a pena sempre usar a rede completa ou sempre fazer a saída antecipada, respectivamente. Por outro lado, para uma taxa de chegada intermediária, existe um valor ótimo para o limiar, nesse caso igual a 4, tal que a vazão é maximizada. A Figura 6(b) mostra métricas adicionais, como a taxa de descarte e a taxa de classificação incorreta, em função do limiar de *backlog* (vide Eq. (1)). Na medida em que a taxa de chegada aumenta, a taxa de descarte também aumenta, principalmente quando o limiar de *backlog* é alto.

O compromisso entre a taxa de descarte e a taxa de classificação incorreta é ilus-



**Figura 6. Efeito do limiar de *backlog* nas métricas de interesse.**

trado nas Figuras 6(c) e 6(d). Na medida em que o limiar de *backlog* aumenta, a acurácia aumenta, mas a probabilidade de perda também aumenta. O que determina o limiar ótimo é a sensibilidade de cada uma dessas métricas com relação a variações no limiar de *backlog*. Conforme ilustrado nas figuras, a probabilidade de perda se torna mais sensível à medida em que a taxa de chegada aumenta, favorecendo um aumento correspondente do limiar de *backlog*.

## 6. Conclusões e Trabalhos Futuros

Este trabalho mostrou que o contexto tem um impacto significativo no desempenho das DNNs de saída antecipada, o que exige uma abordagem adaptativa para a parametrização da saída antecipada bem como para lidar com *buffers*. Para lidar com mudanças de contexto, apresentou-se um algoritmo online que escolhe eficientemente o limiar ótimo de confiança para diferentes contextos. Para lidar com *buffers*, apresentou-se uma abordagem baseada em CTMDP. O algoritmo online é baseado em *multi-armed bandits* para equilibrar o compromisso entre exploração e exploração, escolhendo efetivamente o melhor limiar de confiança, enquanto que o algoritmo offline para lidar com *buffers* visa encontrar o limiar de *backlog* ótimo. Os experimentos demonstram a convergência de ambos os algoritmos para todos os contextos e vários valores de sobrecarga.

Este trabalho abre inúmeros caminhos para investigações futuras, incluindo 1) unificação dos algoritmos online (MAB) e offline (CTMDP), 2) consideração da possibilidade de mais de uma saída antecipada, 3) análise do impacto do limiar de confiança  $\alpha$  sobre a confiança de classificação na camada final,  $C_L$ , ou seja, da interdependência entre as ações e os parâmetros do problema, p.ex., usando algoritmos online para aprender  $C_L$ .

## Referências

Auer, P. et al. (2002). Finite-time analysis of the multiarmed bandit problem. *Machine Learning*, 47:235.

- Casale, G. and Roveri, M. (2023). Scheduling inputs in early exit neural networks. *IEEE Transactions on Computers*.
- Fang, B., Zeng, X., Zhang, F., Xu, H., and Zhang, M. (2020). Flexdnn: Input-adaptive on-device deep learning for efficient mobile vision. In *IEEE/ACM Symposium on Edge Computing (SEC)*, pages 84–95.
- He, K., Zhang, X., Ren, S., and Sun, J. (2016). Deep residual learning for image recognition. In *IEEE Conf. on Computer Vision and Pattern Recognition*, pages 770–778.
- Hu, C., Bao, W., Wang, D., and Liu, F. (2019). Dynamic adaptive DNN surgery for inference acceleration on the edge. In *INFOCOM*, pages 1423–1431.
- Ju, W., Bao, W., Ge, L., and Yuan, D. (2021a). Dynamic early exit scheduling for deep neural network inference through contextual bandits. In *ACM Conf. Info*, pages 823–832.
- Ju, W., Bao, W., Yuan, D., Ge, L., and Zhou, B. B. (2021b). Learning early exit for deep neural network inference on mobile devices through multi-armed bandits. In *IEEE/ACM CCGrid*, pages 11–20.
- Kang, Y., Hauswald, J., Gao, C., Rovinski, A., et al. (2017). Neurosurgeon: Collaborative intelligence between the cloud and mobile edge. In *ACM Computer Architecture News*, volume 45, pages 615–629.
- Kim, G. and Park, J. (2020). Low cost early exit decision unit design for cnn accelerator. In *IEEE Int. SoC Design Conf.*, pages 127–128.
- Krizhevsky, A., Hinton, G., et al. (2009). Learning multiple layers of features from tiny images. *Masters Thesis: University of Toronto*.
- Krizhevsky, A., Sutskever, I., and Hinton, G. E. (2012). Imagenet classification with deep convolutional neural networks. *Advances in neural information processing systems*, 25.
- Laskaridis, S., Venieris, S. I., Almeida, M., Leontiadis, I., and Lane, N. D. (2020). SPINN: synergistic progressive inference of neural networks over device and cloud. In *ACM MobiCom*, pages 1–15.
- Li, E., Zeng, L., Zhou, Z., and Chen, X. (2019). Edge ai: On-demand accelerating deep neural network inference via edge computing. *IEEE Transactions on Wireless Communications*, 19(1):447–457.
- Pacheco, R., Couto, R., and Simeone, O. (2021a). Calibration-aided edge inference offloading via adaptive model partitioning of deep neural networks. In *IEEE Int. Conf. Communications (ICC)*, pages 1–6.
- Pacheco, R., Oliveira, F. R., and Couto, R. (2021b). Early-exit deep neural networks for distorted images: providing an efficient edge offloading. In *IEEE GLOBECOM*, pages 1–6.
- Pacheco, R. G., Bajpai, D. J., Shifrin, M., Couto, R. S., Menasché, D. S., Hanawal, M. K., and Campista, M. E. M. (2024). UCBEE: A Multi Armed Bandit Approach for Early-Exit in Neural Networks. *IEEE Transactions on Network and Service Management*.
- Puterman, M. L. (2014). *Markov decision processes: discrete stochastic dynamic programming*. John Wiley & Sons.
- Satyanarayanan, M. (2017). The emergence of edge computing. *Computer*, 50(1):30–39.
- Shifrin, M., Menasché, D. S., Cohen, A., Goeckel, D., and Gurewitz, O. (2020). Optimal phy configuration in wireless networks. *IEEE/ACM Transactions on Networking*, 28(6):2601–2614.
- Teerapittayanon, S., McDanel, B., and Kung, H.-T. (2016). Branchynet: Fast inference via early exiting from deep neural networks. In *IEEE Int. Conf. on Pattern Recognition (ICPR)*, pages 2464–2469.
- Wang, M., Mo, J., Lin, J., Wang, Z., and Du, L. (2019a). Dynexit: A dynamic early-exit strategy for deep residual networks. In *IEEE Int. Workshop on Signal Processing Systems (SiPS)*, pages 178–183.
- Wang, Z., Bao, W., et al. (2019b). SEE: Scheduling early exit for mobile dnn inference during service outage. In *ACM Conf. Modeling, Analysis and Simulation of Wireless and Mobile Sys.*, pages 279–288.